

บรรณานุกรณ

กรมควบคุมมลพิษ. 2552. [online]. Available: http://www.pcd.go.th/info_serv/en_pol_suc_sulfur.html [24 กันยายน 2552]

กรมแผนที่ทหาร กองบัญชาการทหารสูงสุด. 2542. กรุงเทพ.

กรมอุตุนิยมวิทยา. 2552. [online]. Available: <http://www.tmd.go.th/info/info.php?FileID=22> [24 กันยายน 2552]

กองทุนพัฒนาชุมชนในพื้นที่รอบ โรงไฟฟ้าจังหวัดลำปาง จังหวัดลำปาง. 2552. [online].

Available: <http://www.maemoh.org/maemoh/modules/news/article.php?storyid=8> [2กันยายน 2552]

กัมารี บุญประกอบ และกวนนาถ บัวเรือง. 2550. ໄລເຄີນແຫ່ງເກະແສນສາຮ ຈາກຍອດເຂົ້າສິ່ງ
ໝາຍທະເລ. ມາວິທຍາລ້ຽມຄໍາແໜ່ງ. กรุงเทพ.

การไฟฟ้าฝ่ายผลิตแห่งประเทศไทย. 2551. โรงไฟฟ้าแม่เมaje. [online]. Available: http://www.egat.co.th/th/index.php?option=com_content&task=view&id=53&Itemid=65. [4 มิถุนายน 2551]

ปาลี ทรัพย์ศรี. 2545. การໃຊ້ໄລເຄີນເປັນຕົວໜ້າທຳກັງຊີວັດພິບພາກພື້ນຖານ
ໃນຕົວເມືອງ ແລະນອກເມືອງ ຈັງວັດເຊີ້ງໄໝ໌ พ.ສ. 2544. ວິທຍານິພນີ້ ປຣິລູງຈູາໄທ
ສາຂາຊີວິທາ ຄະວິທາຄາສຕ່າມ ມາວິທຍາລ້ຽມເຊີ້ງໄໝ໌. ເຊີ້ງໄໝ໌.

วนารักษ์ ไชพันธ์ແກ້ວ ກຸດົກາ ປຶ້ອມເຜືອກ ແພທທີ່ເຊີ້ງ ວຸລເຊລລື່ ແລະສຸທ່ານົມ ສູວຣັດຕົນ. 2550.
ຄູ່ມືອນັກສໍາຮວງໄລເຄີນ. ບຣິຕີຈ ເຄານຈິລ. ເຊີ້ງໄໝ໌.

วนารักษ์ ไชพันธ์ແກ້ວ. 2551. ໄລເຄີນແລະການຕະຫຼາດຄຸນພາກສິ່ງແວດລ້ອມ. ເອກສາຮປະກອບ
ການອນຮັມເຊີ້ງປຸງປັບຕິກາຣ. ກາວວິຊາຊີວິທາ ຄະວິທາຄາສຕ່າມ ມາວິທຍາລ້ຽມເຊີ້ງໄໝ໌.
ເຊີ້ງໄໝ໌.

គິວພຣ ຕອພລ ແລະປາຣີຈາຕີ ສຸດສຸຣີຍະ. 2547. ການຕະຫຼາດກົ້າຈໂອໂຈົນໂຄຍໃຫ້ອຸປະກຣົມເກົ່າຕົວຢ່າງ
ອາກາສະນິຄພາສສີທີ່ພັດນາເໜື້ນ. ຈານວິຊຍປຣິລູງຈູາວິທາຄາສຕ່າມບັນທຶດ ສາຂາເຄມີ ຄະ
ວິທາຄາສຕ່າມມາວິທຍາລ້ຽມເທິດໂດຍພະຈອມເກົ່າເຫັນນູ້. ກຽງເທິດ.

ສູນຍົກສານເທິດເພື່ອການບົນຫາຮາດແລະພັດນາງານປົກປອງ. 2552.ການປົກປອງກະທຽມທາດໄກຍ
[online]. Available: <http://www.amphoe.com/menu.php?am=547&pv=51 &mid =1>.



[15 กันยายน 2552]

ศูนย์อุดมวิทยาภาคเหนือ. 2552. ฝ่ายสารสนเทศอุดมวิทยา. เชียงใหม่.

สุทธิวรรณ เมืองสุวรรณ. 2549. การศึกษาอัตราการเติบโตของไอลเคนชนิด *Pyxine cocoes* Swartz

ในมหาวิทยาลัยเชียงใหม่และเขตตัวเมือง จังหวัดเชียงใหม่. ปัญหาพิเศษปริญญาตรี
สาขาวิทยาศาสตร์ คณะวิทยาศาสตร์ มหาวิทยาลัยเชียงใหม่. เชียงใหม่.

สำนักงานคณะกรรมการโขบധพลังงานแห่งชาติ. 2551. นโยบายการใช้ถ่านหินเป็นเชื้อเพลิงใน
การผลิตไฟฟ้า. วารสารนโยบายพลังงาน ฉบับที่ 48 เมษายน-มิถุนายน 2543

[online]. Available: <http://www.eppo.go.th/vrs/VRS48-01-coal.html> [4 มิถุนายน 2551]

แสงร่วม รุณวุฒิ. 2551. การสำรวจความหลากหลายของไอลเคนบริเวณรอบโรงไฟฟ้าแม่มาะ
อำเภอแม่มาะ จังหวัดลำปาง. ปัญหาพิเศษปริญญาตรีสาขาวิทยาศาสตร์ คณะวิทยาศาสตร์
มหาวิทยาลัยเชียงใหม่. เชียงใหม่.

หน่วยงานสารสนเทศ โรงไฟฟ้าแม่มาะ. 2552. [online]. Available: <http://www.maemoh.egat.com/index.php> [20 กรกฎาคม 2552]

หน่วยวิจัยไอลเคน มหาวิทยาลัยรามคำแหง. 2552. ไอลเคน. [online]. Available: <http://www.ru.ac.th/lichen/th.html> [4 มิถุนายน 2552]

Awasthi, D. D. 1991. A Key to Microlichens of India, Nepal and Sri Lanka. J. Cramer. Berlin
Stuttgart.

Buaruang, K., Boonpragob, K., Mongkolsuk, P., Homchantara, N., Vongshewarat, K.,

Sujaritturagan, J., Papong, K., Osathanon, N. and Sanglapcharoenkit, M. 2005. Some
common lichens inhabited Kram island and Samaesarn island. Poster. 31st congress on
science and technology of Thailand, Suranaree University of Technology.

[online]. Available: http://www.ru.ac.th/lichen/Data/STT/STT31_Kawinnart.pdf

[10 กันยายน 2552]

Budel, B. and Scheidegger, C. 1996. Thallus morphology and anatomy. In: Nash III, T.H (ed).
Lichen Biology. Cambridge University Press.

Cruz, L.P.S., Campos, V.P., Silva, A.M.C. and Tavares, T.M. 2004. A field evaluation of a SO₂
passive sampler in tropical industrial and urban air. Atmospheric Environment 38:
6425 – 6429.

Ferm, M. and Svanberg, Per-arne. 1998. Cost-efficient techniques for urban and background
measurements of SO₂ and NO₂. Atmospheric Environment 32: 1377 – 1381.

- Frati, L., Brunialti, G. and Loppi, S. 2008. Effects of reduced nitrogen compounds on epiphytic lichen communities in Mediterranean Italy. *Science of the total environment* 407: 630–637.
- Gair, A.J., Penkett, S.A. and Oyola, P. 1991. Development of a sample passive technique for the determination of nitrogen dioxide in remote continental locations. *Atmospheric Environment* 25A: 1927 – 1939.
- Garty, J., Tomer, S., Levin, T. and Lehr, H. 2003. Lichens as biomonitor around a coal-fired power station in Israel. *Environmental Research* 91: 186 – 198.
- Gilbert, O. 2000. Lichens. HarperCollinsPublishers, London.
- Giordani, P., Brunialti, G. and Alleteo, D. 2002. Effects of atmospheric pollution on lichen biodiversity (LB) in a Mediterranean region (Liguria, northwest Italy). *Environmental Pollution* 118: 53 – 64.
- Giordani, P. 2007. Is the diversity of epiphytic lichens a reliable indicator of air pollution? A case study from Italy. *Environmental Pollution* 146: 317 – 323.
- Gorecki, T. and Namiesnik, J. 2002. Passive sampling. *Trends in Analytical Chemistry* 21: 276-291.
- Gries, C. 1996. Lichens as indicators of air pollution. In: Nash III, T.H (ed). *Lichen Biology*. Cambridge University Press.
- Hawksworth, D. L. and Rose, F. 1976. Lichens as Pollution Monitors. Edward Arnold (Publishers) Limited, London.
- Hohl, A.M., Miller, W.R. and Nelson, D.R. 2001. The Distribution of Tardigrades Upwind and Downwind of a Missouri Coal-Burning Power Plant. *Zoologischer Anzeiger* 240: 395– 401.
- Jeran, Z., Mrak, T., Jacimovic, R., Batic, F., Kastelec, D., Mavšar, R. and Simoncic, P. 2007. Epiphytic lichens as biomonitor of atmospheric pollution in Slovenian forests. *Environmental Pollution* 146: 324 – 331.
- Kasper-Giebl, A. and Puxbaum, H. 1999. Deposition of particulate matter in diffusion tube samplers for the determination of NO₂ and SO₂. *Atmospheric Environment* 33: 1323 - 1326

- Khaodee, W. 2006. Development of passive samplers for determination of nitrogen dioxide, sulfur dioxide and ozone in ambient air. M.S. Thesis, Chiang Mai University. Chiang Mai.
- Kong, F.X., Hu, W., Chao, S.Y., Sang, W.L. and Wang, L.S. 1999. Physiological responses of lichen *Xanthoparmelia Mexicana* to oxidative stress of SO₂. Environmental and Experimental Botany 42: 201 – 209.
- Krochmal, D. and Kalina, A. 1997a. Measurements of nitrogen dioxide and sulphur dioxide concentrations in urban and rural areas of Poland using a passive sampling method. Environmental Pollution 96: 401 – 407.
- Krochmal, D. and Kalina, A. 1997b. A method of nitrogen dioxide and sulphur dioxide Determination in ambient air by use of passive samplers and ion chromatography. Atmospheric Environment 31: 3473 – 3479.
- Loppi, S., Frati, L., Paoli, L., Bigagil, V., Rossetti, C., Bruscoil, C. and Corsini, A. 2004. Biodiversity of epiphytic lichens and heavy metal contents of *Flavoparmelia caperata* thalli as indicator of temporal variations of air pollution in the town of Montecatini Terme (central Italy). The Science of the Total Environment 326: 113 – 122.
- Loppi, S., Ivanov, D. and Boccardi, R. 2002. Biodiversity of epiphytic lichens and air pollution in the town of Siena (central Italy). Environmental Pollution 116: 123 – 128.
- Munzi, S., Revera, S. and Caneva, G. 2007. Epiphytic lichens as indicators of environmental quality in Rome. Environmental Pollution 146: 350 – 358.
- Nash III, T.H. 1996. Introduction. In: Nash III, T.H. (ed). Lichen Biology. Cambridge University Press.
- Perkauskas, D. and Mikelinskiene, A. 1998. Evaluation of SO₂ and NO₂ concentration levels in Vilnius (Lithuania) using passive diffusion samplers. Environmental Pollution 102: 249 – 252.
- Plaisance, H., Sagnier, I., Saison, J.Y., Galloo, J.C. and Guillermo, R. 2002. Performances and application of a passive sampling method for the simultaneous determination of nitrogen dioxide and sulfur dioxide in ambient air. Environmental Monitoring and Assessment 79: 301 – 315.

- Pomphueak, K. 2005. Use of Lichens as Bioindicators for Air Quality Monitoring in Amphoe Mueang Lampang. M.S. Thesis, Chiang Mai University. Chiang Mai.
- Purvis, O.W., Coppins, B.J., Hawksworth, D.L., Jame, P.W. and Moore, D.M. 1992. The Lichen Flora of Great Britain and Ireland. The Natural History Museum on behalf of The British Lichen Society. London.
- Purvis, W. 2000. Lichens. The National History Museum, London.
- Purvis, O.W., Seaward, M.R.D. and Loppi, S. 2007. Lichens in a changing pollution environment: An introduction. *Environmental Pollution* 146: 291 – 292.
- Richardson, D.H.S. 1992. Pollution Monitoring with Lichens. Richmond Publishing Co. Ltd., Great Britain.
- Riga-Karandios, A.N. and Karandios, M.G. 1998. Assessment of air pollution from lignite power plant in the plain of Megalopolis (Greece) using as biomonitor three species of lichens; impacts on some biochemical parameters of lichens. *The Science of the Total Environment* 215: 167 – 183.
- Saipunkaew, W. 1994. Lichens as Bioindicators for Air Pollution Monitoring in Doi Suthep Mountain and Chiang Mai City. M.S. Thesis, Chiang Mai University. Chiang Mai.
- Saipunkaew, W., Wolseley, P.A. and Chimonides, P.J. 2005. Epiphytic lichens as indicators of environmental health in the vicinity of Chiang Mai city, Thailand. *Lichenologist* 37: 345 – 356.
- Saipunkaew, W., Wolseley, P.A., Chimonides, P.J. and Boonpragob, K. 2007. Epiphytic macrolichens as indicators of environmental alteration in northern Thailand. *Environmental Pollution* 146: 366 – 374.
- Santis, F.D., Allegrini, I., Fazio, M.C., Pasella, D., and Piredda, R. 1997. Development of a passive sampling technique for the determination of nitrogen dioxide and sulphur dioxide in ambient air. *Analytica Chimica Acta* 346: 127 – 134.
- Shakya, K. 2004. Passive sampling of nitrogen dioxide and sulfur dioxide in ambient air. M.S. Thesis, Environmental Science, Chiang Mai University. Chiang Mai.
- Sipman, H. 2003. Key to the Lichen Genera of Bogor, Cibodas and Singapore. [online]. Available: <http://www.bgbm.org/Sipman/keys/Javagenera.htm> [16 September 2004].
- Staxäng, B. 1969. Acidification of bark of some deciduous tree. *Oikos* 20: 224 – 230.

- Subsi, P. and Saipunkaew, W. 2002. Mango tree bark as bioindicator for air pollution monitoring in Chiang Mai city. *Chiang Mai Journal of Science* 29 (3): 183 – 188.
- van Dobben, H.F. and ter Braak, C.J.F. 1998. Effects of atmospheric NH₃ on epiphytic lichens in the Netherlands: the pitfalls of biological monitoring. *Atmospheric Environment* 32: 551 – 557.
- van Dobben, H.F., Wolterbeek, H.Th., Wamelink, G.W.W. and Ter Braak, C.J.F. 2001. Relationship between epiphytic lichens, trace element and gaseous atmospheric pollutants. *Environmental Pollution* 112: 163 – 169.
- van Herk, C.M. 2001. Bark pH and susceptibility to toxic air pollutants as independent causes of changes in epiphytic lichen composition in space and time. *The Lichenologist* 33: 419 - 441.
- VDI. 1995. VDI 3799 Part 1, Measurement of Immission Effects. Measurement and Evaluation of Phytotoxic Effect of Ambient Air Pollution (Immission) with Lichen : Mapping of Lichen for Assessment of the Air Quality. Verein Deutscher Ingenieure, Dusseldorf.
- Wiriya, W. 2008. Monitoring and analysis of atmospheric acid deposition in Chiang Mai, Thailand, year 2006 – 2007. M.S. Thesis, Environmental Science, Chiang Mai University. Chiang Mai.
- Wolseley, P. A. and Aquire – Hudson, B. 1997 a. Lichen of tropical forest in Thailand: A field key to characteristic epiphytic species in northern Thailand. Botany Department, The Natural History Museum. London.
- Yang, Y., Zhang, X.X., Korenaga, T. and Higuchi, K. 1997. Determination of passive-sampled sulphur dioxide in ambient air as sulphate ion by flow injection analysis with an in-line reaction column. *Talanta* 45: 445 – 450.

ภาคผนวก

ภาคผนวก ก แบบฟอร์มการสำรวจໄລເຄນ

Site..... Tree No.....

วันที่สำรวจ.....ผู้สำรวจ.....

บริเวณที่สำรวจน้ำหนึ่งบ้าน.....ตำบล.....อำเภอแม่เมะ จังหวัดลำปาง

ชุมชนใหญ่ ชุมชนเล็ก สวน ป่า อื่นๆ.....

ถนน เส้นหลัก ในหมู่บ้าน ไม่มีถนนผ่าน

ห่างถอนน้ำ < 2 ม. 2-5 ม. 5-10 ม. >10 ม.

ลักษณะที่ดึงของต้นไม้ร่วง เปิดรังคลน มีสิ่งกำกังโดย

ก่อนไปรับประทานอาหาร อย่าลืมดูแลสุขภาพตัวเองด้วย

ເຊື້ອນຮອງວາງຈົມຕັ້ງ

ເພື່ອມສະເດຜ.....ນມ. pH ເປັນຕາມ.....

គម្រោងបែកចក និង ទេរីប ប្លុខវង់ ពេកបែនរងគក

ความทันทานของผู้ ล่อน ไม่ล่อน

ทิศทิวัง grid frame N S W E N

อุณหภูมิ °C ความชื้นสัมพัทธ์ % (wet.....dry.....)

ความเข้มแสงเฉลี่ย.....lux ความสูงจากระดับน้ำทะเล.....เมตร

ที่ตั้ง ; ละติจุค...N.....ลองติจุค...E.....

ตรางาโน๊กพล

WISNIEWSKI

ตารางบันทึกผล

กลุ่มของไอลเคน			ชนิดของไอลเคน	ความถี่
Crustose	Foliose	Fruticose		

หมายเหตุ.....

.....

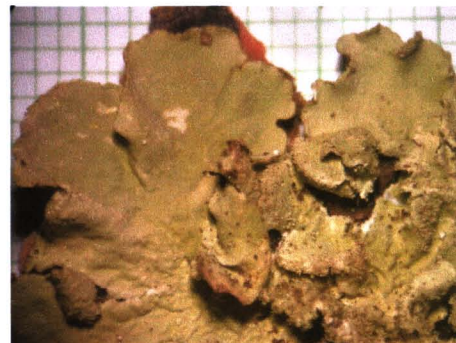
.....

ภาคผนวก ข
ໄລເຄນທີ່ພົນຈາກກາຮືກໍາຍາ

ກາພ ຂ 1 ໄລເຄນກລຸ່ມ ໂພລິໂອສ



Parmotrema praesorediosum



Parmotrema tinctorum



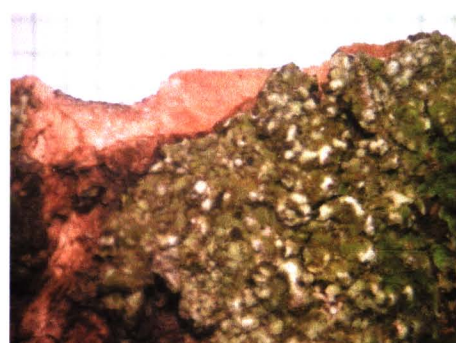
Dirinaria picta



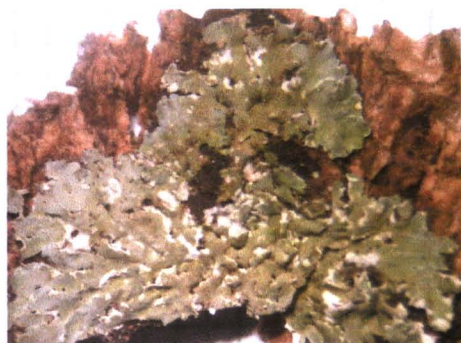
Hyperphyscia adglutinata



Hyperphyscia pandani



Hyperphyscia cf. tuckermanii



Physcia cf. dilatata



Physcia cf. erumpens



Physcia poncinsii



Physcia undulata



Pyxine cocoes

ภาพ ข 2 ไอลเคนกลุ่มครัสโตส



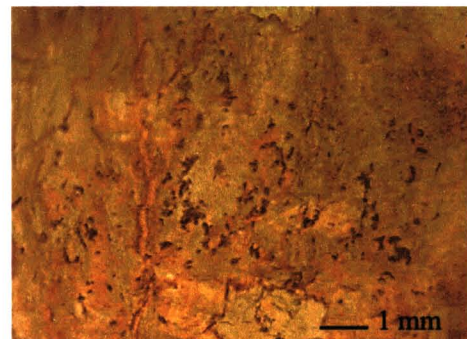
Arthonia tumidula



Arthonia sp.2



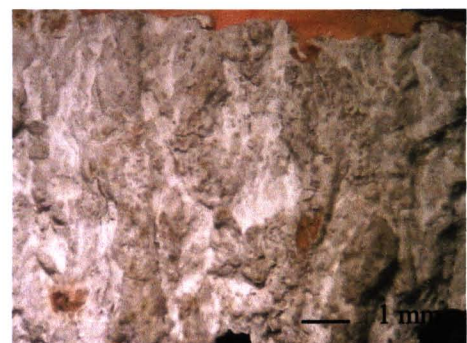
Arthonia sp.3



Arthothelium sp.1



Arthothelium sp.2



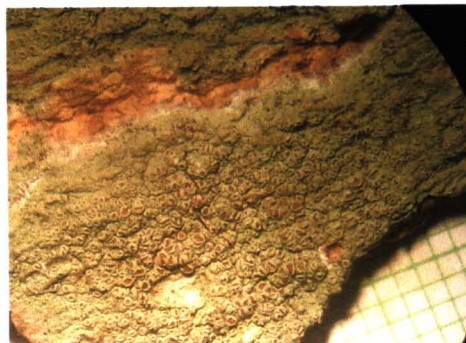
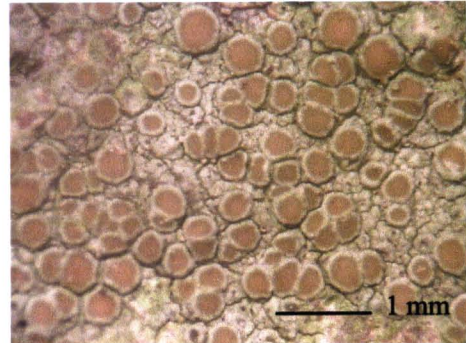
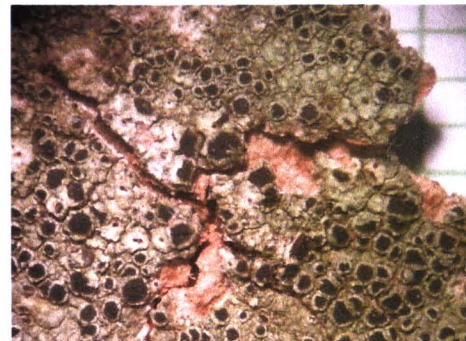
Cryptothecia sp.



Chrysothrix xanthina



Dimerella sp.

*Lecanora ecoronata**Lecanora leprosa**Lecanora* sp.3*Lecanora* sp.4cf. *Anisomeridium* sp.1cf. *Anisomeridium* sp.2*Buellia* sp.*Rinodina* sp.1



Rinodina sp.2



Pyrenula sp.



Bacidia sp.1



Bacidia sp.2



Bacidia sp.3



Lecanographa sp.



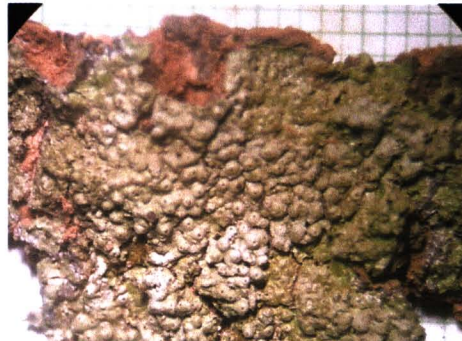
Chapsa sp.



Ocellularia sp.



Leucodecton occultum



Porina aciculosa



Porina sp.2



Laurera subbenguelensis



Laurera sp.2



Trypethelium aff. Tropicum



Trypethelium eluteriae



Crustose Unknown 1

ภาคผนวก ค
การวิเคราะห์สถิติ

ตาราง ค 1 การวิเคราะห์ความแปรปรวนแบบทางเดียว (one-way ANOVA) ของค่า pH เปลือกไม้

Test of Homogeneity of Variances

Levene Statistic	df1	df2	Sig.
1.561	9	90	.139

ANOVA

		Sum of		F	Sig.
	Squares	df	Mean Square		
Between Groups	2.742	9	.305	4.079	.000
Within Groups	6.722	90	.075		
Total	9.464	99			

Homogeneous Subsets pH Tukey HSD

site	N	Subset for alpha = .05		
		1	2	3
1.00	10	4.6730		
3.00	10	4.7480	4.7480	
10.00	10	4.8760	4.8760	4.8760
2.00	10	4.9900	4.9900	4.9900
6.00	10	5.0580	5.0580	5.0580
7.00	10		5.0720	5.0720
8.00	10		5.0780	5.0780
5.00	10		5.0860	5.0860
4.00	10		5.1250	5.1250
9.00	10			5.2260
Sig.		.065	.077	.132

Means for groups in homogeneous subsets are displayed.

a Uses Harmonic Mean Sample Size = 10.000.

ตารางที่ 2 การวิเคราะห์ความแปรปรวนแบบทางเดียว (one-way ANOVA) ของ SO_2 ณ จุดแข็ง

Test of Homogeneity of Variances

Levene Statistic	df1	df2	Sig.
2.976	9	37	.009

ANOVA

Sum of					
	Squares	df	Mean Square	F	Sig.
Between Groups	213.611	9	23.735	2.921	.010
Within Groups	300.676	37	8.126		
Total	514.287	46			

Tukey HSD

Subset for alpha = .05			
site	N	1	2
4.00	4	.8400	
9.00	5	3.7160	3.7160
8.00	4	4.7275	4.7275
6.00	5	5.5020	5.5020
2.00	4	6.0450	6.0450
1.00	5	6.5240	6.5240
7.00	5	7.0700	7.0700
10.00	5		7.6520
3.00	5		7.8740
5.00	5		8.6460
Sig.		.054	.237

Means for groups in homogeneous subsets are displayed.

a Uses Harmonic Mean Sample Size = 4.651.

b The group sizes are unequal. The harmonic mean of the group sizes is used. Type I error levels are not guaranteed.

ตารางที่ 3 การวิเคราะห์ความแปรปรวนแบบทางเดียว (one-way ANOVA) ของ SO_2 ณ จุดฝน

Test of Homogeneity of Variances

Levene Statistic	df1	df2	Sig.
2.315	9	36	.036

ANOVA

	Sum of				
	Squares	df	Mean Square	F	Sig.
Between Groups	6.300	9	.700	12.709	.000
Within Groups	1.983	36	.055		
Total	8.282	45			

Tukey HSD

site	N	Subset for alpha = .05	
		1	2
2.00	4	.5100	
3.00	5	.6420	
4.00	5	.6660	
10.00	4	.6725	
5.00	5	.6860	
1.00	5	.8660	
9.00	5	.8780	
7.00	4	.9275	
8.00	4		1.4575
6.00	5		1.7240
Sig.		.219	.782

Means for groups in homogeneous subsets are displayed.

a Uses Harmonic Mean Sample Size = 4.545.

b The group sizes are unequal. The harmonic mean of the group sizes is used. Type I error levels are not guaranteed.

ตาราง ค 4 การทดสอบความแตกต่างของ SO_2 ของก๊าซและก๊าบก๊าฟุน

Paired Samples Statistics

			Std.	Std. Error	
		Mean	N	Deviation	Mean
Pair 1	dry	5.9452	46	3.36843	.49665
	wet	.9039	46	.42901	.06325

Paired Samples Correlations

		N	Correlation	Sig.
Pair 1	dry & wet	46	-.048	.751

Paired Samples Test

								Sig.
		Paired Differences				t	df	(2-tailed)
		Mean	Std. Deviation	Mean	Difference			
						Lower	Upper	
Pair 1	dry - wet	5.04130	3.41603	.50367	4.02687	6.05574	10.009	.45 .000

ตารางที่ ๕ ตัวอย่างค่า Correlation ระหว่างตัวแปรทางเคมีและพิมพ์ร่อง (Correlations)

		Index	Evenness	Richness	Altitude	Distance	pH	SO ₂ dry	SO ₂ wet
Index	Pearson Correlation	1	.723(*)	.605	-.225	.171	-.096	-.333	-.236
	Sig. (2-tailed)		.018	.064	.533	.637	.792	.348	.512
Evenness	Pearson Correlation	.723(*)	1	-.110	-.580	.092	-.205	-.510	-.561
	Sig. (2-tailed)		.018		.762	.079	.801	.569	.132
Richness	Pearson Correlation	.605	-.110	1	.342	.109	.125	.122	.283
	Sig. (2-tailed)		.064		.762	.334	.765	.731	.429
Altitude	Pearson Correlation	-.225	-.580	.342	1	.286	.342	.007	.749(*)
	Sig. (2-tailed)		.533	.079	.334	.422	.334	.984	.013
Distance	Pearson Correlation	.171	.092	.109	.286	1	-.444	.060	.314
	Sig. (2-tailed)		.637	.801	.765	.422	.198	.868	.377
pH	Pearson Correlation	-.096	-.205	.125	.342	-.444	1	-.507	.243
	Sig. (2-tailed)		.792	.569	.731	.334	.198	.134	.499
SO ₂ dry	Pearson Correlation	-.333	-.510	.122	.007	.060	-.507	1	-.161
	Sig. (2-tailed)		.348	.132	.737	.984	.868	.134	.656
SO ₂ wet	Pearson Correlation	-.236	-.561	.283	.749(*)	.314	.243	-.161	1
	Sig. (2-tailed)		.512	.091	.429	.013	.377	.499	.656

* Correlation is significant at the 0.05 level (2-tailed).

ภาคผนวก ๑
การคำนวณความเข้มข้นของ SO_2

การคำนวณหาความเข้มข้นของก๊าซซัลเฟอร์ไดออกไซด์ (SO_2) ในอากาศ ที่ทำการตรวจวัดเป็นเวลา 7 วัน สามารถคำนวณได้ดังนี้

ตาราง ง 1 การคำนวณความเข้มข้นของก๊าซ SO_2

หลอด	พื้นที่ต่อกراف	$[\text{SO}_4^{2-}]$ X (ppm)	ค่า Q (μg)	$[\text{SO}_2]$ $C (\mu\text{g}/\text{m}^3)$	$[\text{SO}_2]$ ppbv	ค่าเฉลี่ย (ppbv)
S1/1	26.602	0.03	0.07	3.22	1.23	
S1/2	24.873	0.02	0.07	3.00	1.15	
S1/3	12.637	0.01	0.03	1.51	0.58	0.86
S1/4	16.247	0.02	0.04	1.95	0.75	
S1/5	13.572	0.01	0.04	1.63	0.62	

ความเข้มข้นของ SO_4^{2-} (ppm) หากได้จากสมการมาตรฐาน $Y = 998.3X + 0.2324$

$$26.602 = 998.3X + 0.2324$$

$$X = (26.602 - 0.2324) / 998.3$$

$$= 0.03 \text{ ppm}$$

ค่า Q จากสารสกัดสุดท้าย ปริมาตร 4 มิลลิลิตร เมื่อ มวลโนเลกุลของ $\text{SO}_2 = 64$ และ มวลโนเลกุลของ $\text{SO}_4^{2-} = 96$)

$$Q (\mu\text{g}) = \text{ความเข้มข้นของ } \text{SO}_4^{2-} (\text{ppm}) \times 4 \text{ ml} \times 64/96$$

$$= 0.03 \times 4 \times 64/96$$

$$= 0.07$$

ความเข้มข้นของก๊าซ SO_2 หน่วย ไมโครกรัม/ลูกบาศก์เมตร ($\mu\text{g}/\text{m}^3$)

$$C (\mu\text{g}/\text{m}^3) = \frac{[Q \times z]}{[(\pi r^2) \times t \times D]}$$

$$C (\mu\text{g}/\text{m}^3) = \frac{0.07 \times 0.054}{0.000154 \times 604800 \times 0.0000127}$$

$$C = 3.22 \quad \mu\text{g}/\text{m}^3$$

เมื่อ

$$Q = 0.07$$

$$z = 0.054 \text{ เมตร}$$

$$\pi r^2 = 0.000154 \text{ ตารางเมตร}$$

$$t = 604800 \text{ วินาที (7 วัน)}$$

$$D = 1.27 \times 10^{-5} \text{ m}^2/\text{s} \text{ หรือ } 0.00001270 \text{ m}^2/\text{s}$$

การแปลงหน่วยของก๊าซ SO_2 จาก $\mu\text{g}/\text{m}^3$ เป็นหน่วย ppb หรือ ppbv ได้จากสมการ

$$\text{ppbv} = \frac{\mu\text{g}/\text{m}^3 \times \text{molecular volume (litres)}}{\text{molecular weight}}$$

$$\text{เมื่อ molecular volume} = \frac{22.41 \times (273 + 25)}{273} \times \frac{101.3}{101.3}$$

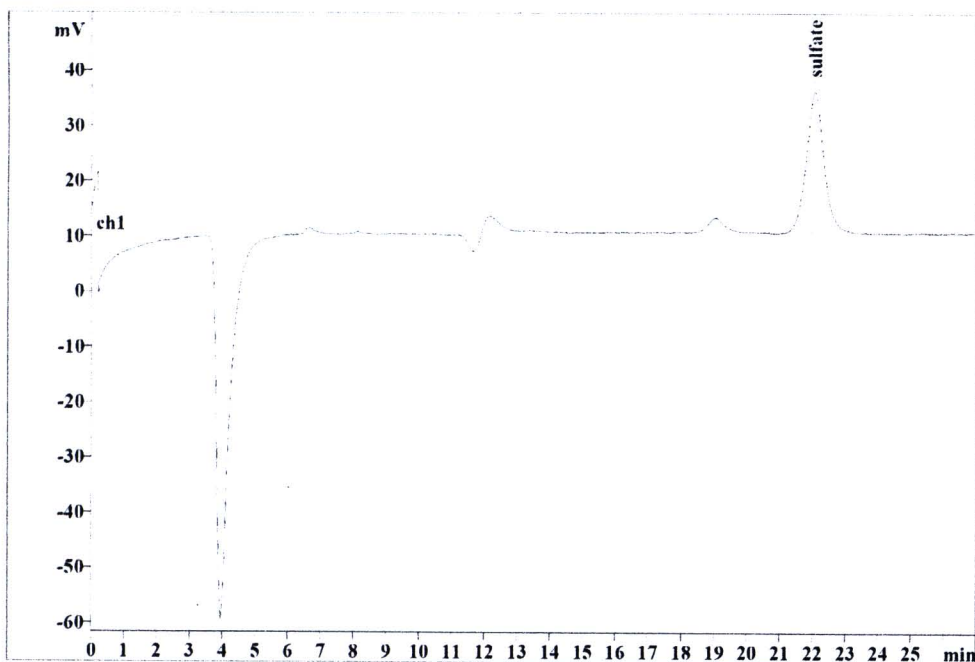
$$\text{เพรากะณนั้น molecular volume} = 24.46$$

$$\text{เมื่อ P} = \text{ความดันบรรยากาศ } 1 \text{ atm} = 101.3 \text{ kPa}$$

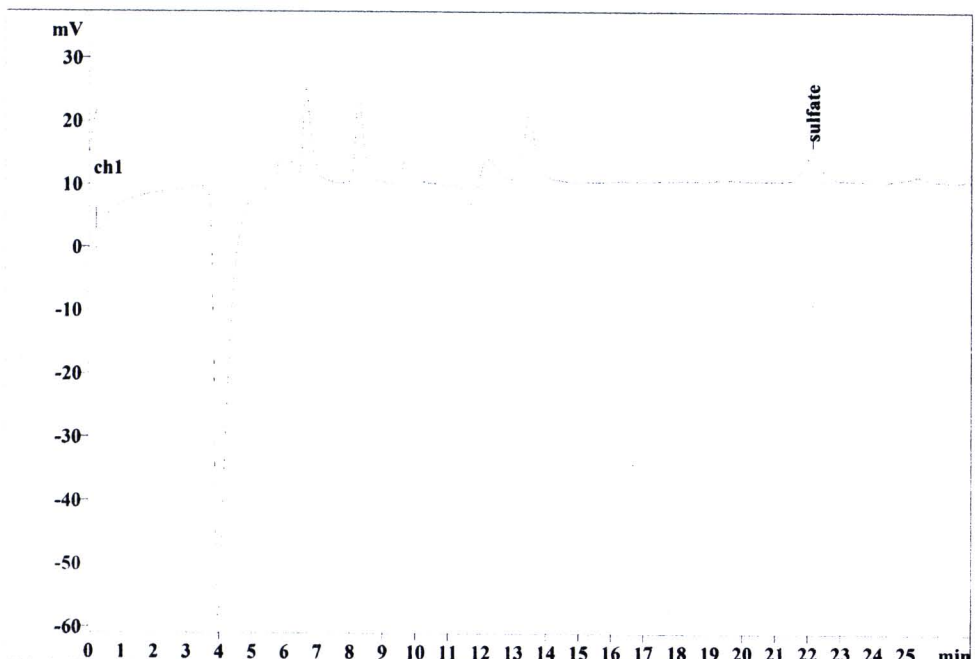
$$\text{ความเข้มข้นของก๊าซ } \text{SO}_2 \text{ (ppbv)} = \frac{3.22 \times 24.46}{64}$$

$$\text{ความเข้มข้นของก๊าซ } \text{SO}_2 = 1.23 \text{ ppbv}$$

ภาคผนวก จ
โคม่าโตแกรม



ภาพ จ 1 โคม่าโตแกรมของสารละลายน้ำเพื่อมาตรฐาน ความเข้มข้น 1.0 ppm



ภาพ จ 2 โคม่าโตแกรมของสารตัวอย่าง ที่ทำการตรวจวัดเป็นเวลา 7 วัน

ภาคผนวก ฉ
ข้อมูลความเข้มข้นของ SO_2

ตาราง ฉ 1 ข้อมูลความเข้มข้นของก๊าซ SO_2 ที่ตรวจวัดได้ในฤดูแล้ง ช่วงวันที่ 21 – 28 กุมภาพันธ์

พ.ศ. 2552 (กำหนดให้ $z = 0.054$, $\pi r^2 = 0.0001540$, $t = 604,800$, $D = 0.0000127$, $MV = 24.46$, $Mw = 64$)

Tube	Peak area	Conc (ppm)	Conc ($\mu\text{g}/\text{m}^3$)	Conc (ppbv)	Net conc (ppbv)	SD
B1/1	111.916	0.12	14.73	5.63		
B1/2	8.288	0.01	0.75	0.29		
B1/3	0.000	0.00	0.00	0.00		
S1/1	231.762	0.25	30.90	11.81		
S1/2	157.990	0.17	20.95	8.01		
S1/3	79.688	0.09	10.39	3.97		
S1/4	58.899	0.06	7.58	2.90		
S1/5	145.809	0.16	19.30	7.38	6.52	3.54
B2/1	43.067	0.04	5.45	2.08		
B2/2	0.000	0.00	0.00	0.00		
B2/3	13.677	0.01	1.48	0.57		
S2/1	135.324	0.15	17.89	6.84		
S2/2	191.998	0.21	25.53	9.76		
S2/3	106.153	0.11	13.95	5.33		
S2/4	607.069	0.67	81.52	31.16		
S2/5	149.316	0.16	19.78	7.56	6.05	1.84
B3/1	72.335	0.08	9.39	3.59		
B3/2	20.763	0.02	2.44	0.93		
B3/3	18.217	0.02	2.09	0.80		
S3/1	221.231	0.24	29.48	11.27		
S3/2	227.579	0.25	30.33	11.59		
S3/3	141.658	0.15	18.74	7.16		
S3/4	133.005	0.14	17.58	6.72		
S3/5	137.680	0.15	18.21	6.96	7.87	2.46
B4/1	73.573	0.08	9.56	3.65		
B4/2	24.793	0.02	2.98	1.14		
B4/3	0.000	0.00	0.00	0.00		
S4/1	65.160	0.07	8.43	3.22		
S4/2	157.672	0.17	20.90	7.99		
S4/3	63.241	0.07	8.17	3.12		
S4/4	68.106	0.07	8.82	3.37		
S4/5	65.393	0.07	8.46	3.23	0.84	0.10
B5/1	39.110	0.04	4.91	1.88		
B5/2	0.000	0.00	0.00	0.00		
B5/3	0.000	0.00	0.00	0.00		
S5/1	380.530	0.39	47.89	18.30		
S5/2	196.049	0.21	25.46	9.73		
S5/3	109.710	0.12	14.43	5.52		
S5/4	75.170	0.08	9.78	3.74		
S5/5	117.983	0.13	15.55	5.94	8.65	5.82

ตาราง ณ 1 (ต่อ) ข้อมูลความเข้มข้นของก๊าซ SO_2 ที่ตรวจจับได้ในฤดูแต่ง ช่วงวันที่ 21 – 28
กุมภาพันธ์ พ.ศ. 2552

(กำหนดให้ $z = 0.054$, $\pi r^2 = 0.0001540$, $t = 604,800$, $D = 0.0000127$, $MV = 24.46$, $Mw = 64$)

Tube	Peak area	Conc (ppm)	Conc ($\mu\text{g}/\text{m}^3$)	Conc (ppbv)	Net conc (ppbv)	SD
B6/1	89.707	0.10	12.53	4.79		
B6/2	7.092	0.02	2.49	0.95		
B6/3	0.000	0.00	0.00	0.00		
S6/1	202.124	0.22	26.20	10.01		
S6/2	129.589	0.14	17.38	6.64		
S6/3	129.214	0.14	17.34	6.63		
S6/4	120.154	0.13	16.24	6.20		
S6/5	253.137	0.27	32.40	12.38	5.50	2.72
B7/1	161.169	0.17	21.22	8.11		
B7/2	19.941	0.03	4.05	1.55		
B7/3	6.570	0.02	2.43	0.93		
S7/1	195.112	0.21	25.35	9.69		
S7/2	182.694	0.20	23.84	9.11		
S7/3	252.450	0.27	32.32	12.35		
S7/4	230.863	0.24	29.70	11.35		
S7/5	212.607	0.23	27.48	10.50	7.07	1.29
B8/1	56.172	0.07	8.46	3.23		
B8/2	12.668	0.03	3.17	1.21		
B8/3	0.000	0.00	0.00	0.00		
S8/1	205.099	0.22	26.56	10.15		
S8/2	125.411	0.14	16.87	6.45		
S8/3	152.539	0.17	20.17	7.71		
S8/4	136.145	0.15	18.18	6.95		
S8/5	130.487	0.14	17.49	6.69	4.73	0.55
B9/1	98.457	0.11	13.60	5.20		
B9/2	0.000	0.00	0.00	0.00		
B9/3	8.042	0.02	2.60	1.00		
S9/1	97.690	0.11	13.50	5.16		
S9/2	101.856	0.12	14.01	5.35		
S9/3	159.428	0.17	21.01	8.03		
S9/4	114.462	0.13	15.54	5.94		
S9/5	192.905	0.21	25.08	9.59	3.72	1.92
B10/1	67.492	0.08	9.83	3.76		
B10/2	0.000	0.00	0.00	0.00		
B10/3	0.000	0.00	0.00	0.00		
S10/1	70.045	0.08	10.14	3.88		
S10/2	232.578	0.25	29.90	11.43		
S10/3	152.771	0.17	20.20	7.72		
S10/4	144.665	0.16	19.22	7.34		
S10/5	156.455	0.17	20.65	7.89	7.65	2.68

ตาราง ณ 2 ข้อมูลความเข้มข้นของก๊าซ SO_2 ที่ตรวจวัดได้ในฤดูฝน ช่วงวันที่ 5 – 12 กรกฎาคม

พ.ศ. 2552 (กำหนดให้ $z = 0.054$, $\pi r^2 = 0.0001540$, $t = 604,800$, $D = 0.0000127$, $MV = 24.46$, $Mw = 64$)

Tube	Peak area	Conc (ppm)	Conc ($\mu\text{g}/\text{m}^3$)	Conc (ppbv)	Net conc (ppbv)	SD
B1/1	94.490	0.09	11.49	4.39		
B1/2	32.273	0.03	3.91	1.49		
B1/3	23.503	0.02	2.84	1.08		
S1/1	26.602	0.03	3.22	1.23		
S1/2	24.873	0.02	3.00	1.15		
S1/3	12.637	0.01	1.51	0.58		
S1/4	16.247	0.02	1.95	0.75		
S1/5	13.572	0.01	1.63	0.62	0.86	0.30
B2/1	3.965	0.00	0.46	0.17		
B2/2	22.556	0.02	2.72	1.04		
B2/3	15.033	0.01	1.80	0.69		
S2/1	10.772	0.01	1.29	0.49		
S2/2	11.206	0.01	1.34	0.51		
S2/3	11.726	0.01	1.40	0.54		
S2/4	10.894	0.01	1.30	0.50		
S2/5	6.042	0.01	0.71	0.27	0.51	0.02
B3/1	86.912	0.09	10.57	4.04		
B3/2	18.104	0.02	2.18	0.83		
B3/3	18.730	0.02	2.26	0.86		
S3/1	16.257	0.02	1.95	0.75		
S3/2	11.906	0.01	1.42	0.54		
S3/3	14.606	0.01	1.75	0.67		
S3/4	10.942	0.01	1.31	0.50		
S3/5	16.409	0.02	1.97	0.75	0.64	0.12
B4/1	74.635	0.07	9.07	3.47		
B4/2	93.198	0.09	11.34	4.33		
B4/3	21.171	0.02	2.55	0.98		
S4/1	14.815	0.01	1.78	0.68		
S4/2	15.572	0.02	1.87	0.71		
S4/3	16.714	0.02	2.01	0.77		
S4/4	13.996	0.01	1.68	0.64		
S4/5	11.537	0.01	1.38	0.53	0.67	0.09
B5/1	7.287	0.01	0.86	0.33		
B5/2	14.242	0.01	1.71	0.65		
B5/3	20.359	0.02	2.45	0.94		
S5/1	27.431	0.03	3.32	1.27		
S5/2	9.386	0.01	1.12	0.43		
S5/3	16.521	0.02	1.99	0.76		
S5/4	14.862	0.01	1.78	0.68		
S5/5	6.524	0.01	0.77	0.29	0.69	0.38

ตาราง ฉ 2 (ต่อ) ข้อมูลความเข้มข้นของก๊าซ SO_2 ที่ตรวจได้ในกุฎ忿 ช่วงวันที่ 5 – 12

กรกฎาคม พ.ศ. 2552

(กำหนดให้ $z = 0.054$, $\pi r^2 = 0.0001540$, $t = 604,800$, $D = 0.0000127$, Mo volume = 24.46, Mw = 64)

Tube	Peak area	Conc (ppm)	Conc ($\mu\text{g}/\text{m}^3$)	Conc (ppbv)	Net conc (ppbv)	SD
B6/1	78.157	0.08	9.50	3.63		
B6/2	16.314	0.02	1.96	0.75		
B6/3	22.029	0.02	2.66	1.02		
S6/1	36.085	0.04	4.37	1.67		
S6/2	26.688	0.03	3.23	1.23		
S6/3	43.685	0.04	5.30	2.03		
S6/4	39.642	0.04	4.81	1.84		
S6/5	39.996	0.04	4.85	1.85	1.72	0.30
B7/1	88.474	0.09	10.76	4.11		
B7/2	17.619	0.02	2.12	0.81		
B7/3	17.976	0.02	2.16	0.83		
S7/1	24.979	0.02	3.02	1.15		
S7/2	240.259	0.24	29.27	11.19		
S7/3	11.452	0.01	1.37	0.52		
S7/4	24.669	0.02	2.98	1.14		
S7/5	19.454	0.02	2.34	0.90	0.93	0.29
B8/1	116.235	0.12	14.15	5.41		
B8/2	13.227	0.01	1.58	0.61		
B8/3	14.229	0.01	1.71	0.65		
S8/1	31.016	0.03	3.75	1.43		
S8/2	75.325	0.08	9.16	3.50		
S8/3	32.640	0.03	3.95	1.51		
S8/4	27.487	0.03	3.32	1.27		
S8/5	35.092	0.03	4.25	1.62	1.46	0.15
B9/1	73.981	0.07	8.99	3.44		
B9/2	12.073	0.01	1.44	0.55		
B9/3	24.040	0.02	2.90	1.11		
S9/1	15.002	0.01	1.80	0.69		
S9/2	13.196	0.01	1.58	0.60		
S9/3	25.937	0.03	3.13	1.20		
S9/4	19.967	0.02	2.41	0.92		
S9/5	21.193	0.02	2.56	0.98	0.88	0.24
B10/1	116.354	0.12	14.16	5.41		
B10/2	22.681	0.02	2.74	1.05		
B10/3	17.725	0.02	2.13	0.82		
S10/1	13.319	0.01	1.60	0.61		
S10/2	17.608	0.02	2.12	0.81		
S10/3	14.946	0.01	1.79	0.69		
S10/4	12.695	0.01	1.52	0.58		
S10/5	175.493	0.18	21.37	8.17	0.67	0.10

ประวัติผู้เขียน

ชื่อ นางรำพรวน กันเจิน



วันเดือนปีเกิด 31 พฤษภาคม 2521

ประวัติการศึกษา

สำเร็จการศึกษาประถมศึกษา โรงเรียนบ้านท่าข้าม ปีการศึกษา 2534

สำเร็จการศึกษามัธยมศึกษาตอนต้น โรงเรียนเมืองราชวิทยาคม ปีการศึกษา 2537

สำเร็จการศึกษามัธยมศึกษาตอนปลาย โรงเรียนหล่มเก่าพิทยาคม ปีการศึกษา 2540

สำเร็จการศึกษาปริญญาวิทยาศาสตรบัณฑิต สาขาวิชาวิทยา มหาวิทยาลัยนเรศวร
ปีการศึกษา 2544

สำเร็จการศึกษาประกาศนียบัตรบัณฑิต (การสอน) มหาวิทยาลัยนเรศวร
ปีการศึกษา 2545

ทุนการศึกษา ได้รับทุนสนับสนุนจาก โครงการพัฒนาองค์ความรู้และศึกษาฯ นโยบายการจัดการ
ทรัพยากรชีวภาพในประเทศไทย ซึ่งร่วมจัดตั้งโดยสำนักงานกองทุนสนับสนุน
การวิจัย และศูนย์พันธุวิศวกรรมและเทคโนโลยีชีวภาพแห่งชาติ (BRT T352053)
บัณฑิตวิทยาลัยมหาวิทยาลัยเชียงใหม่ และโครงการอนุรักษ์และใช้ประโยชน์
ความหลากหลายทางชีวภาพ ภาควิชาชีววิทยา คณะวิทยาศาสตร์
มหาวิทยาลัยเชียงใหม่

